

محیطرسوبی و چینه‌نگاری سکانسی یک سیستم بادبزن دریایی ژرف (پالئوسن)، البرز شمالی (ناحیه سوچلما)

محمود شرفی^{*}، مهران مرادپور^۲، بیژن بیرانوند^۳، پوریا کهننسال^۴، ابراهیم عبدالهی^۵، فرید طاعتی^۶ و حسین مهاجر^۷

۱، ۲، ۳، ۴ و ۵- گروه زمین‌شناسی، پژوهشگاه صنعت نفت، تهران

۶ و ۷- شرکت نفت خوزستان، تهران

نویسنده مسئول: sharafi2262@gmail.com

دریافت: ۹۸/۶/۱۶ پذیرش: ۹۸/۶/۱۶

چکیده

رسوبات سیلیسی- آواری پالئوسن با ستبرای ۳۱۸ متر در ناحیه جنوب نکا (برش سوچلما) در البرز شمالی از مارن ستبر و ماسه‌سنگ‌های نازک تا ستبر لایه ساخته شده است. بررسی‌های سنگ‌نگاری و میدانی منجر به شناسایی سه مجموعه رخساره‌ای شامل کانال‌های متحرک کم‌ژرا (shallow mobile channels, FA)، زون انتقالی کف حوضه- لبه بادبزن (*fan fringe-basin floor*) و کف حوضه (transition, FB) از یک سیستم بادبزن زیردریایی ژرف شده است. به طور کلی توالی رسوبات، توالی‌های درشت‌شونده و ستبر شونده متشكل از مجموعه‌های رخساره‌ای -FB و FA- و FC- FB را نشان می‌دهند. اثر سنگواره‌های *Halopa* و *Palaeodiction Zoophycus* و فرامینیفرهای پلانکتون و مقادیر فراوان پیریت‌های خوش‌های و پرکننده حجرات، فسفات و مواد آلی در این رسوبات نشانگر محیط تنه‌شینی ژرف با نرخ رسوب‌گذاری پایین و شرایط احیایی بستر رسوبی است. توالی پالئوسن در بُرش مورد بررسی از چهار سکانس رسوبی درجه سه شامل دسته *LST* و *TST* و *HST* ساخته شده است. فرآیند های زمین‌ساختی بالا‌آمدگی در یک رژیم فشارشی در انتهای کرتاسه- آغاز پالئوسن منجر به ساخت رشته کوه‌های البرز شده است. این عامل به همراه تغییرات جهانی تراز آب دریا از عوامل اصلی کنترل کننده شرایط رسوب‌گذاری (همچنین بادبزن دریایی ژرف در این حوضه) و تغییرات نسبی تراز آب دریا در حوضه کاسپین جنوبی بوده است.

واژه‌های کلیدی: البرز شمالی، پالئوسن، بادبزن دریایی ژرف، حوضه خوزستان

در ناحیه مورد بررسی بوده که در یک تراف خطی ژرف در شمال این رشته کوه‌ها به نام حوضه کاسپین جنوبی (به طور دقیق تر *pre-Alborz trough*) نهشته شده است (برونت و همکاران، ۲۰۰۳؛ وینست و همکاران، ۲۰۰۵). معمولاً یک سیستم بادبزن زیر دریایی با یک سیستم تغذیه کننده واحد و یک شکل هندسی بادبزنی شکل مشخص شده که شامل نهشته‌های کanal بالای تخت گاه و ماسه‌سنگ‌های توربیدیاتی ورقه‌ای شکل متناوب با مادستون‌های همی‌پلازیک است (هرد و همکاران، ۲۰۱۴). در سیستم‌های توربیدیاتی و بادبزن‌های ژرف دریا، تاثیر جریان‌های گرانشی باعث اعمال تنش‌های محیطی گوناگون (مانند ایجاد آشفتگی در اثر ورود دانه‌های سیلیسی- آواری) بر روی مجموعه‌های زیستی موجود در آن می‌شود (کاللو و همکاران، ۲۰۱۴). استرس‌های فیزیکی و شیمیایی مانند تغییرات در شرایط

پیشگفتار

پوسته ایران مرکزی و البرز به عنوان بخشی از حاشیه غیرفعال گندوانا در زمان دیرینه زیستی در نظر گرفته می‌شوند که در طی اردوبیسین- سیلورین از این ابر قاره جدا شده و در زمان تریاس با اوراسیا برخورد کرده‌اند (سنگور، ۱۹۹۰؛ اشتامافلی و همکاران، ۱۹۹۱؛ سنگور و ناتالین، ۱۹۹۶). در پایان کرتاسه- آغاز پالئوسن رخدادهای زمین‌ساختی بالا‌آمدگی و چین‌خوردگی در یک رژیم فشارشی که در امتداد حاشیه اقیانوس نئوتیس رخ داده است منجر به چین‌خوردگی و گسلش توالی سبیری از نهشته‌های کربناته دریایی، سیلیسی- آواری و ولکانیکی به سن کرتاسه- پالئوسن شده است. این وقایع زمین‌ساختی منجر به ساخته رشته کوه‌های البرز شده و در مرحله بعد فرسایش این کمریند کوه‌زایی منبع اصلی تامین رسوبات سیلیسی- آواری (شامل رسوبات پالئوسن

کربناته دریایی، آواری و ولکانیکی و آغاز خروج از آب البرز شده است (سنگور، ۱۹۶۸؛ بربریان، ۱۹۸۳). این رخداد احتمالاً مرتبط با بسته‌شدن حوضه‌های اقیانوسی کوچک در زون بخوردی جنوب ایران (بسته شدن قلمرو پشت قوسی زون فرورانش نئوتیس) بوده است (برونت و همکاران، ۲۰۰۳). رخداد بالآمدگی کرتاسه بالایی-پالئوسن (برونت و همکاران، ۲۰۰۳) و فراسایش کمربند البرز منبع اصلی رسوبات سیلیسی-آواری و کنترل کننده سیستم رسوی توالی پالئوسن بوده است که در حاشیه حوضه کاسپین جنوبی^۲ (فرورفتگی حاشیه البرز، *SCB pre-Alborz trough*) در بخش جنوب خاوری از نهشست یافته است (شکل ۲). بر پایه دیدگاه برون特 و همکاران (برونت و همکاران، ۲۰۰۳) در بازه زمانی کنیاسین تا پالئوسن رژیم زمین‌ساختی در کل ناحیه (از ترکیه تا قفقاز و خاور کراتون اروپا) از نوع فشارشی بوده بنابراین بازشدگی و گسترش حوضه کاسپین جنوبی پیش از این زمان رخ داده است (نیکیشین و همکاران، ۲۰۰۱).

روش پژوهش

این بررسی بر روی یک بُرش چینه‌شناسی به سمت‌باز ۳۱۸ متر از توالی پالئوسن در ناحیه سوچلما در جنوب نکا ($30^{\circ}N$ و $36^{\circ}E$ و 53°) که دارای بهترین رخمنون این رسوبات در یال شمالی البرز می‌باشد، مت مرکز شد (شکل ۱). شمار ۱۷۰ بُرش نازک به صورت منظم و بر مبنای تغییرات سنگ‌شناسی برداشت و برای بررسی‌های سنگنگاری و شناسایی ترکیب سنگ‌شناسی و اجزای سازنده (کربناته، سیلیسی-آواری، درجاز) رسوبات، مورد بررسی قرار گرفت. رخسارهای کربناته به روش دانهام (۱۹۶۲) نام‌گذاری شدند. شمار ۱۵ نمونه از رسوبات دانه‌ریز مارنی برای شناسایی مواد آلی و دیگر اجزای *Vega-Tescan* سازنده توسط میکروسکوپ الکترونی نوع *SEM-EDX* در موسسه رازی تهران مورد تصویربرداری و واکاوی *SEM-EDX* قرار گرفت. برداشت‌های میدانی شامل سنگ‌شناسی، سمت‌بازی لایه‌ها و مجموعه‌های رسوی، شکل هندسی، ساختارهای رسوی به دقت ثبت شدند. افزون بر این، ویژگی‌های فیزیکی رسوی‌شناسی مانند بافت، ترکیب، همبrij بالایی و زیرین لایه‌ها و بسته‌های رسوی و همچنین روندهای عمودی و الگوی انباستگی^۱

هیدرودینامیکی، سطح اکسیژن، محتوی مواد آلی و غذایی، جابجایی بستر رسوی و نرخ رسوب‌گذاری عمدتاً نتیجه فرآیندهای گرانشی رسوبات است (کالوو و همکاران، ۲۰۱۴؛ هرد و همکاران، ۲۰۱۴؛ موناکو و ترسی، ۲۰۱۴). به طور کلی در چنین سیستم‌هایی به دلیل تهنشینی رسوبات در ژرفای به نسبت بالا و عمدتاً در زیر مرز اثر امواج و نفوذ نور (بیشتر رسوبات پلاژیک و همی‌پلاژیک دانه‌ریز) شرایط احیایی حاکم بوده به نحوی که رسوبات دانه‌ریز که در بخش‌های حوضه‌ای تهنشین است می‌باشد می‌توانند دارای مقدار بسیاری از مواد آلی بوده و بنابراین به عنوان رسوبات مستعد منشا هیدروکربن مطرح باشند. در این بررسی رسوبات پالئوسن در یال شمالی البرز مورد شناسایی و بررسی قرار گرفت. یافته‌های این بررسی برای بازسازی جغرافیای دیرینه حوضه البرز در این بازه زمانی و بررسی‌های تکمیلی از دید توان منشا هیدروکربنی بسیار اهمیت دارد.

جاگاه زمین‌شناسی

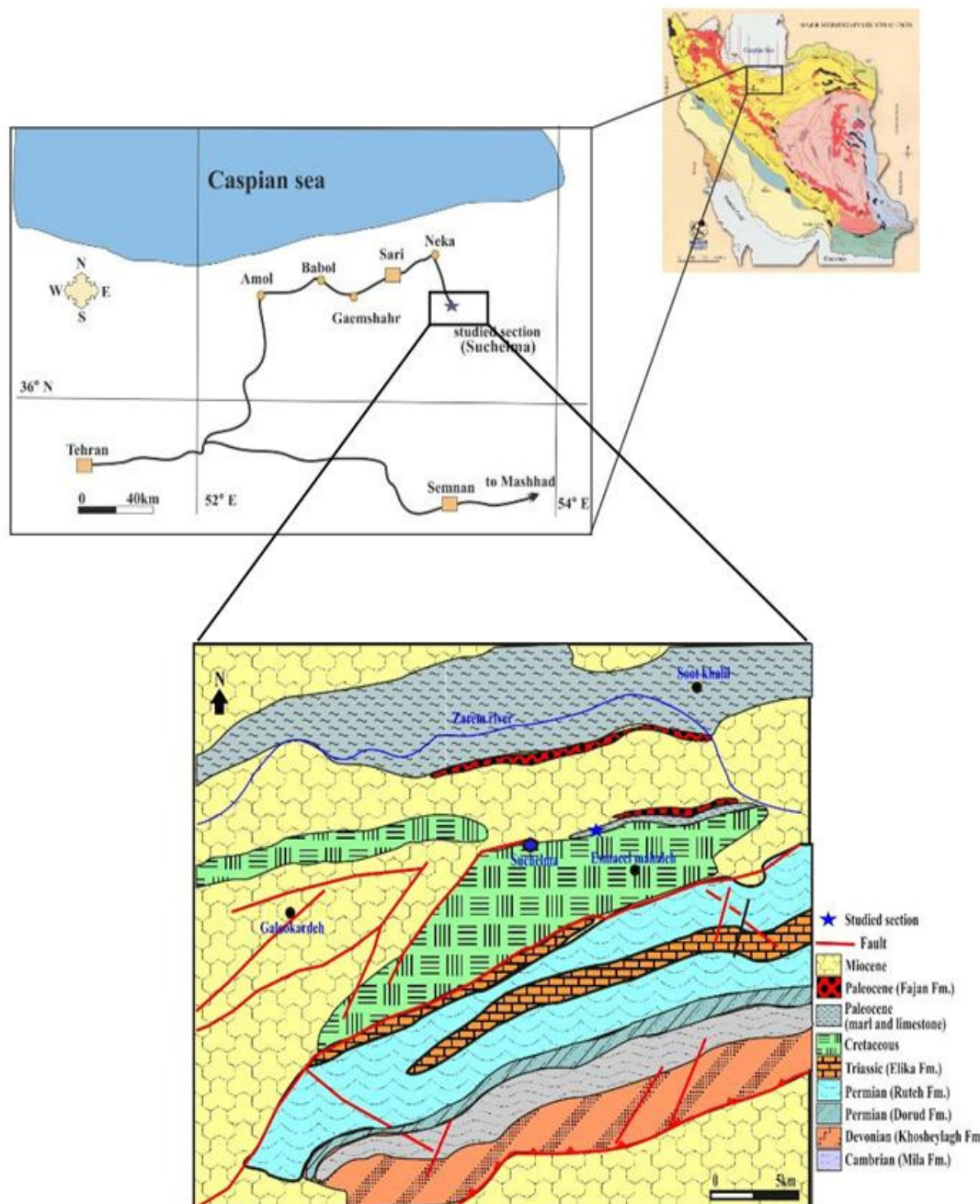
ناحیه سوچلما در جنوب نکا بخشی از زون ساختاری البرز بوده و در بخش شمالی آن قرار دارد (شکل ۱). البرز دربرگیرنده بلندی‌های شمال صفحه ایران است که به شکل تاقدیسی مرکب^۱، در یک راستای عمومی خاوری - باختیری به درازای نزدیک ۲۰۰۰ کیلومتر از ارمنستان و آذربایجان در شمال باختیر تا شمال افغانستان در خاور امتداد داشته (شکل ۱) و تغیر تاثیر فازهای کوهزایی سیمری-آلپی قرار گرفته است (علوی، ۱۹۹۶). صفحه البرز به عنوان بخشی از حاشیه ناپویای گندوانا در زمان دیرینه‌زیستی در نظر گرفته می‌شود که در طی اردویسین-سیلورین از این ابر قاره جدا شده و در زمان *Eo-Cimmerian* با اوراسیا برخورد کرده است (سنگور، ۱۹۹۰؛ اشتمانفلی و همکاران، ۱۹۹۱؛ سنگور و ناتالین، ۱۹۹۶). خط درز بین شمال ایران و اوراسیا که در نتیجه این برخورد ایجاد شده است در پهلوی شمالی البرز قرار دارد که توسط توالی سمت‌باز رسوبات سازند شمشک (ژوراسیک) پوشیده می‌شود. رخداد زمین‌ساختی فشارشی در امتداد حاشیه اقیانوس نئوتیس در زمان انتهای کرتاسه-آغاز پالئوسن منجر به چین‌خوردگی و گسلش توالی سمت‌باز از سنگ‌های

² South Caspian Basin

¹ Anticlinorium

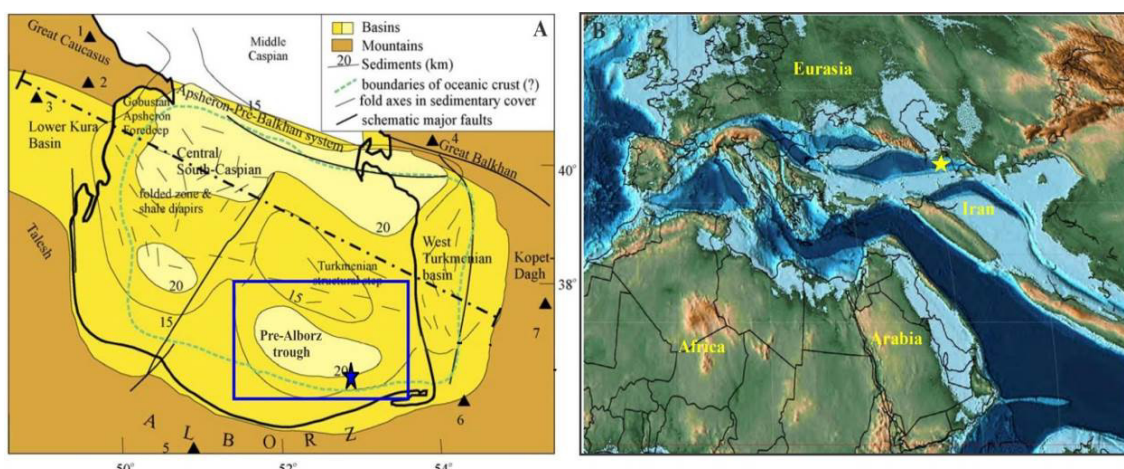
همکاران، ۱۹۹۴؛ ناست، ۲۰۰۹؛ مکالی و هوبارد، ۲۰۱۳؛ جیانتی و موناکو، ۲۰۱۵؛ بایت‌گل و همکاران، ۲۰۱۴ و ۲۰۱۵). اثر سنگواره‌ها در سطوح هوازده و تازه^۳ مورد بررسی و شناسایی قرار گرفتند.

مجموعه‌های رسوبی برای شناسایی و تفسیر رخساره‌ها و مجتمعه‌های رخساره‌ای و شناسایی دسته رخساره‌ها و سکانس‌های رسوبی و بر پایه انطباق با مدل‌های کلاسیک ارائه شده در سیستم فن‌های زیردریایی ژرف، مورد بررسی قرار گرفت (وان واگنر و همکاران، ۱۹۹۰؛ موتی و



شکل ۱. راه‌های دسترسی و نقشه زمین‌شناسی ناحیه مورد بررسی در جنوب نکا (نقشه زمین‌شناسی از دانشمند و سعیدی، ۱۳۶۹).

¹ stacking pattern
² fresh



شکل ۲. A) نقشه زیرحوضه‌های خوزه جنوبی (برونت و همکاران، ۲۰۰۳)، B) نقشه جغرافیای دیرینه حاشیه تیس در زمان پالئوسن (اسکاتس، ۲۰۱۴) (ناحیه مورد بررسی با ستاره مشخص شده است).

انباشته شده^۶ با قاعده مشخص/ فرسایشی مشخص هستند و ساخته توالی‌های درشت‌شونده- سیترشونده به طرف بالا را می‌دهند (شکل A-C^۳). لایه‌های ماسه‌سنگ معمولاً بدون ساختمان داخلی بوده و تنها در مواردی ساختمان دانه‌بندی تدریجی نرمال نشان می‌دهند. در بعضی موارد رخسارهای Te و Td از توالی بوما در این مجموعه شناسایی شد. ماسه‌سنگ‌ها جورشده‌گی خوب- متوسط داشته و دارای خردنه‌های کربناته مانند پلوئید (با منشا جلبک‌های آهکی و فرامینیفرهای بتیک)، اکینودرم، استراکود، فرامینیفرهای بتیک و پلانکتونیک و کورالیناصل است. رخساره مارن سیلتی- ماسه‌ای عموماً با ستبرای ۵ تا ۳۰ سانتی‌متر دارای فرامینیفرهای پلانکتونیک فراوان است (شکل E-F^۳). این مجموعه رخساره‌ای معمولاً در بالای مجموعه رخساره‌ای زون انتقالی کف حوضه- لبه بادیزن (FB) قرار گرفته است. تفسیر: حالت ورقه‌ای شکل، گسترش جانی به نسبت گستره و الگوی درشت‌شونده- سیترشونده به طرف بالا نشانگر تهنشینی این رسوبات از جریانات توربیدیاتی ماسه‌ای نسبتاً محصور نشده^۷ در بخش لوپ یک سیستم تهنشینی بادیزن زیردریایی است (هوبارد و همکاران، ۲۰۰۹؛ بایت‌گل و همکاران، ۲۰۰۴). به گونه‌ای که این مجموعه از جریانات توربیدیاتی با فشرده‌گی بالا و به میزان اندک رسوبات دانه‌ریز همی‌پلاژیک ایجاد شده است. الگوی سیترشونده به طرف بالا همراه با ستبرای

نتایج

مجموعه‌های رخساره‌ای (Lithofacies associations)
بر مبنای بررسی‌های میدانی و آزمایشگاهی، شناسایی رخساره‌های رسوبی، بررسی ارتباط عمودی و الگوی انباشتگی رسوبات پالئوسن در ناحیه سوچلما و مقایسه آن‌ها با مدل‌های رسوبی فن‌های زیردریایی ژرف (هوبارد و همکاران، ۲۰۰۹؛ پرلت و هادسون، ۲۰۱۳؛ هرد و همکاران، ۲۰۱۴؛ بایت‌گل و همکاران، ۲۰۱۴) سه مجموعه رخساره‌ای شامل کانال‌های متحرک کم‌ژرف^۱ از سیستم کanal- بالای تخت گاه^۲، زون انتقالی کف حوضه- لبه بادیزن^۳ و کف حوضه^۴ شناسایی شد.

مجموعه رخساره‌ای کانال‌های متحرک کم‌ژرف^۱ (shallow mobile channels, FA)

این مجموعه رخساره‌ای از توسعه کمی در بُرشن مورد بررسی برخوردار بوده و متشكل از ماسه‌سنگ‌های دانه‌ریز- بسیار دانه‌ریز، نازک تا ستبر لایه نخودی رنگ و ورقه‌ای شکل^۵ است که تا چند ده متر گسترش جانی دارند. در مواردی لایه‌های ماسه‌سنگی دارای سطح قاعده‌ای مقعر رو به بالا بوده و در کناره‌ها از ستبرای آن کاسته می‌شود. مارن خاکستری تیره نازک لایه نیز به صورت میان لایه‌ای در این مجموعه وجود دارد. واحدهای این مجموعه ۲/۵ تا ۶ متر ستبرای داشته و به صورت

¹ shallow mobile channels

² Facies association A

³ fan fringe-basin floor transition, Facies association B

⁴ Facies association C

⁵ sheet like

تغذیه می‌کنند. مخلوط خرددهای اسکلتی استنوهالین و شیزوهالین (مرتبط با محیط‌های نریتیک و ژرف) مانند برکیوپود، فرامینیفرهای بنتیک و کورالیناشه، فرامینیفرهای پلانکتونیک و اکینودرم نشانگر توسعه کانال‌های تغذیه کننده این سیستم توربیدیاتی در بخش‌های کم ژرف‌ها و بالای شلف است.

بالای لایه‌ها ماسه‌سنگی و حالت انباشت‌شدنگی نشانگر تهنشینی این رسوبات نزدیک مرکز تخلیه (لوب به عنوان رسوبات محور لوب است (پرلت و هادسون، ۲۰۱۳). افرون بر این ماسه‌سنگ‌های ستبر لایه با حالت انباشتگی و فرم هندسی کانالی شکل با قاعده مشخص نشانگر توسعه کانال‌های کوچک و کم ژرف است که بر روی لوب‌ها توسعه یافته و آن‌ها را



شکل ۳. تصاویر میدانی و میکروسکوپی از مجموعه (A-C) FA، تصاویر میدانی حالت انباشت‌شده و کانالی شکل لایه‌های ماسه‌سنگی و توالی‌های ستبر‌شونده به طرف بالا، (D) رخساره ماسه‌سنگ پلوئیدار، (E) رخساره ماسه‌سنگ پلوئیدار ماسه‌ای، (F) رخساره مارن ماسه‌ای.

شکل و مارن خاکستری تیره است. این مجموعه رخساره‌ای به طور میانگین بین ۱/۵ تا ۶ متر (تا بیشینه ۹ متر) ستبرای داشته و لایه‌ها ماسه‌سنگی معمولاً قاعده مشخص و امتداد جانبی گستردگی نشان می‌دهند (تا ده‌ها متر) (شکل A۴). لایه‌ها ماسه‌سنگی بدون ساختار درونی

مجموعه رخساره‌ای زون انتقالی کف حوضه- لبه بادبزن (FB) (*fan fringe-basin floor transition*) این مجموعه رخساره‌ای از گسترش بسیاری در بُرش مورد بررسی برخوردار بوده و متشکل از تناب و ماسه‌سنگ‌های نخودی رنگ نازک تا متوسط لایه ورقایی

کanal- بالای تختگاه و نزدیک به محیط کف حوضه است (کالوو و همکاران، ۲۰۱۴). رسوبات دانه‌ریز توربیدیات گلی و گل‌های همی‌پلازیک در این مجموعه نهشته‌های دورترین بخش زون انتقالی لوب-کanal یا نهشته‌های لبه لوب را نشان می‌دهند. حضور اثر سنگواره‌های بیشتر وابسته به فعالیت رسوب‌خواری^۳ و مرتبط با شرایط کم اکسیژن (مانند *Zoophycus Palaeodiction* و *Halopa*) و خردنهای اسکلتی غیر وابسته به نور (مانند اکینودرم و بریوزوا) نشانگر تهنشیتی رسوبات زیر مرز اثر امواج و نفوذ نور و چیرگی شرایط کم اکسیژن و احیایی در بستر رسوبی است (بایت‌گل و همکاران، ۱۳۸۹). این تفسیر با وجود مقادیر فراوان پیریت‌های خوش‌های و پرکننده حجرات فرامینیفرها که در سطح بین آب-رسوب ساخته می‌شوند و همچنین مواد آلی در این رسوبات تایید می‌شود (شرفی و همکاران، ۲۰۱۶، ۲۰۱۴).

(FC) (Basin floor) کف حوضه

این مجموعه فراوان‌ترین رسوبات در بُرش مورد بررسی بوده و از مارن‌های تیره‌رنگ با میان لایه‌های اندک از ماسه‌سنگ‌های بسیار نازک‌لایه ساخته شده است (شکل ۵). لایه‌های ماسه‌سنگی بدون ساختمن داخلی، ورقه‌ای شکل با قاعده شارپ و دارای امتداد جانبی هستند. دانه‌های کربناته شامل پلوئید (تا ۱۰ درصد و با منشا جلبک‌های آهکی و فرامینیفرهای پلانکتونیک)، اکینودرم و فرامینیفرهای بنتیک و پلانکتونیک در این ماسه‌سنگ‌ها شناسایی شد. رخساره مارن که ساخته واحدهای با سبترای بین ۱۰ تا ۶۰ متر را می‌دهند دارای مقادیر فراوان فرامینیفرهای پلانکتونیک و کوکولیت و همچنین پیریت‌های خوش‌های و پرکننده حجرات فرامینیفرها و مواد آلی است (شکل B-E5). دانه‌های سیلیسی-آواری تا ۱۵ درصد در اندازه سیلیت تا ماسه بسیار دانه‌ریز در این مارن‌ها وجود دارد. این مجموعه رخساره‌ای در پایین و انتهای بُرش مورد بررسی و بیشتر در زیر مجموعه FA یا FB توسعه یافته است.

تفسیر: این مجموعه رخساره‌ای حاصل رسوب‌گذاری همی‌پلازیک آهسته و طولانی مدت بوده که به صورت جزئی توسعه جریانات توربیدیاتی رقیق با انرژی متوسط-

بوده و در موارد اندکی ساختمان دانه‌بندی تدریجی نرمال دیده شد (شکل B-C4). ماسه‌سنگ‌ها دانه‌ریز- بسیار دانه‌ریز، جوشدگی خوب- متوسط بوده و همراه با رخساره مارن ساخته سیکل‌های کلاسیک درشت‌شونده و ستبر شونده به طرف بالا را می‌دهند. اثرسنگواره‌های *Ophiomorpha Palaeodiction Zoophycus Halopa* در این مجموعه شناسایی شدند (شکل D-F4). اجزای کربناته در این ماسه‌سنگ‌ها شامل پلوئید با منشا جلبک‌های آهکی و فرامینیفرهای بنتیک (۳۰-۲۰ درصد)، اکینودرم، استراکود، بریوزوا، فرامینیفرهای بنتیک و پلانکتونیک است. در موارد اندک سنگ‌آهکهای بایوکلاستیک ماسه‌ای (ریز رخساره گرینستون بایوکلاستیک ماسه‌ای) با خردنهای اسکلتی مانند اکینودرم، برکیوپود، دایتروپا (*Ditrupa*) و بریوزوا و پلوئید نیز در این مجموعه وجود دارد. واحدهای مارن دارای کوکولیت و فرامینیفرهای پلانکتونیک فراوان (مانند *Praemurica*، *Globunomalina Subbotina* و همچنین پیریت‌های خوش‌های و پرکننده حجرات فرامینیفرها و مواد آلی (که در بررسی های SEM شناسایی شده‌اند) هستند. این مجموعه رخساره‌ای در بخش میانی و بالایی بُرش سوچلما گسترش داشته و به طرف بالا توسط مجموعه FA جایگزین شده و خود بر روی مجموعه FC قرار می‌گیرند و بدین ترتیب توالی‌های بزرگ مقیاس ستبر شونده به طرف بالا را می‌سازند.

تفسیر: ماسه‌سنگ‌های دانه‌ریز- بسیار دانه‌ریز نازک تا متواتر لایه به جریانات توربیدیاتی با غلظت نسبتاً پایین جریان یافته از طریق کanal‌های کوچک و لبه کanal^۱ نسبت داده می‌شوند در حالی که مارن‌های متنابض با آن‌ها توسط تهنشیت از حالت معلق ساخته شده‌اند (کالوو و همکاران، ۲۰۱۴؛ هرد و همکاران، ۲۰۱۴؛ موناکو و ترسی، ۲۰۱۴). لایه‌های ماسه‌سنگی با قاعده فرسایشی و گسترش جانبی گستردۀ همراه با مارن‌های تیره به عنوان بسته‌های توربیدیاتی ورقه‌ای شکل یا لوب‌های تهنشیتی که به طور وسیعی در سیستم‌های کanal- بالای تخت گاه^۲ توسعه می‌یابند، تفسیر می‌شوند. فرم هندسی ورقه‌ای شکل این لایه‌های ماسه‌سنگی نشانگر توسعه جریانات توربیدیاتی غیر محصور در سیستم

^۳ deposit feeding

^۱ channel fringe

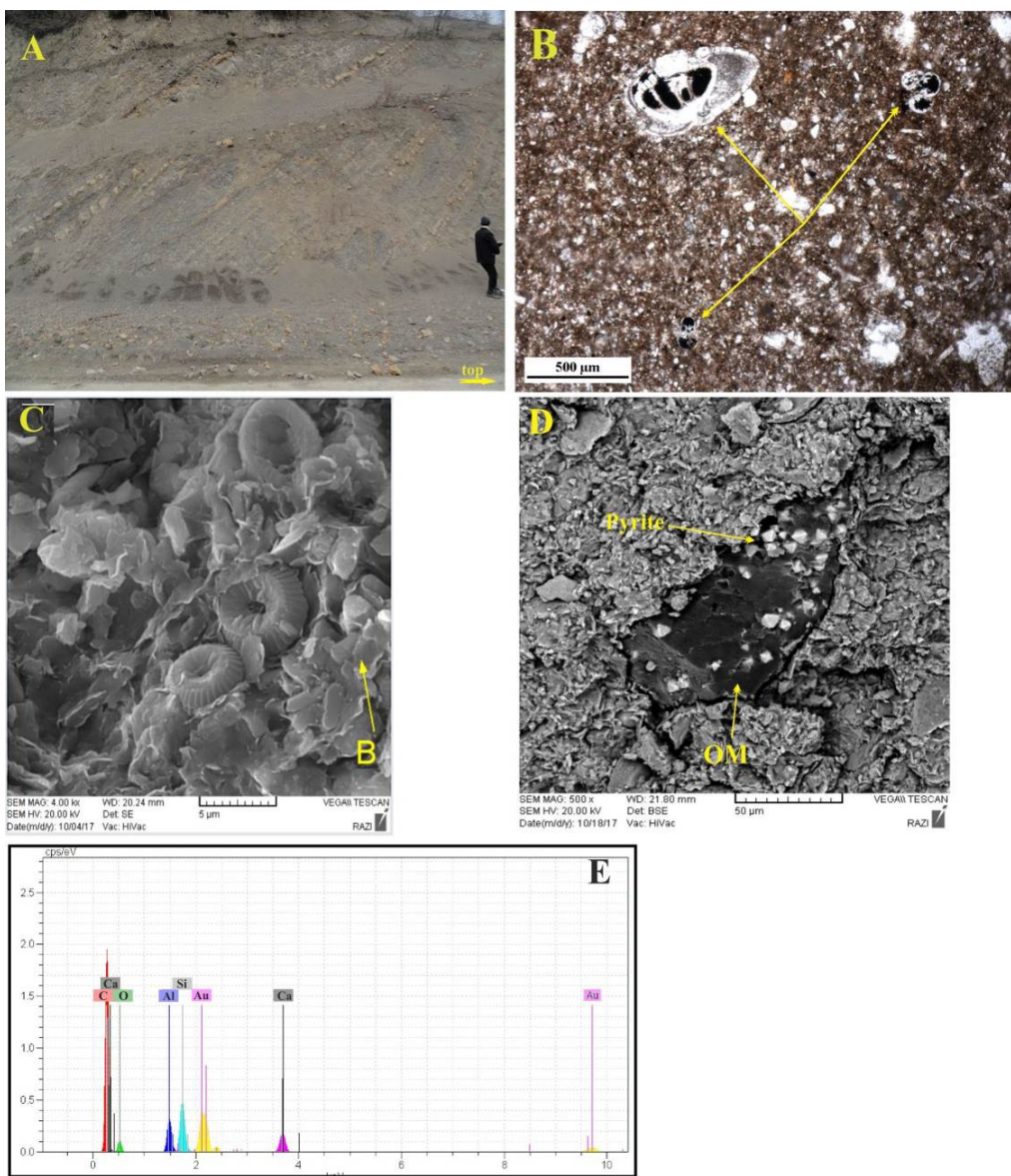
^۲ overbank channel

بهبهانی و همکاران، ۱۳۹۷؛ شرفی و همکاران، ۲۰۱۴-۲۰۱۶). جزیات آشفته گلی و ورود دانه‌های سیلیسی-آواری در اندازه رس تا ماسه بسیار دانه‌ریز نیز می‌تواند دلیل نبود آشفتگی زیستی در این رسوبات باشد (هرد و پیکرینگ، ۲۰۰۸ و ۲۰۱۴). رخساره ماسه‌سنگی حاصل فرآیندهای توربیدایتی دور از منشا است که با وجود مقادیر فراوان رسوبات دانه‌ریز گلی در این مجموعه و مخلوطی از سازنده‌های بخش‌های کم‌ژرف حوضه و اجزای پلاژیک شناخته می‌شود.

پایین (ساخته لایه‌های نازک ماسه‌سنگ و دانه‌های سیلیسی-آواری در رخساره مارن سیلیتی-ماسه‌ای) قطع شده است. نبود اثر سنگواره‌ها در این بخش شاید بدليل شرایط غالب کم اکسیژن در ستون آب و آبهای بین‌دانه‌ای در جایگاه دور از منشا کف حوضه باشد که با وجود تشکیل پیریت خوش‌های و پرکننده حجرات فرامیغیرها و همچنین مواد آلی که در تصاویر میکروسکوپ الکترونی و واکاوی SEM-EDX شناسایی شده‌اند، تایید می‌شود (صادق‌زاده و همکاران، ۱۳۹۲؛



شکل ۴. تصاویر میدانی و میکروسکوپی از مجموعه رخساره‌ای A-FB (A) توالی‌های ستبر شونده به طرف بالا، B و C) تصویر میدانی و میکروسکوپی از رخساره‌های Te و Td از سیکل بوما به صورت ضعیف حفظ شد، D) اثر سنگواره Palaeodiction (E) اثر سنگواره Zoophycus (F) Halopa



شکل ۵. تصاویر میدانی و میکروسکوپی و واکاوی *EDX* از رسوبات مارنی مجموعه *EDX* (A) مارن‌های تیره با میان لایه‌های ماسه‌سنگ نازک‌لایه، (B) فرامینیفرهای پلانکتونیک با پیریت‌های حجره پرکن (پیکان)، C) کوکولیت‌ها در رخساره مارن تیره، D و (E) تصویر *BSE* و واکاوی *EDX* از مواد آلی موجود در مارن‌های تیره.

شماری از بررسی‌های (اشتوکلین، ۱۹۶۸؛ بربیان، ۱۹۸۳) آغاز خروج از آب البرز در طی پالئوسن (60 Ma) بوده و بعضی از رخدادهای بالآمدگی ممکن است در زمان مژوزوئیک میانی در ناحیه شمالی البرز رخداده باشد. بالآمدگی، چین‌خوردگی و راندگی کرتاسه بالایی-پالئوسن (برونت و همکاران، ۲۰۰۳) و فرسایش کمربند البرز منبع اصلی رسوبات سیلیسی-آواری و کنترل کننده سیستم رسوبی توالي پالئوسن در یک فرورفتگی خطی طویل در پهلوی شمالی کوههای البرز است که با

بحث

مدل رسوب‌گذاری توالي پالئوسن (*Depositional model of the Palaeocene succession*)

پوسته البرز و ایران مرکزی به عنوان قطعاتی از حاشیه غیرفعال گندوانا در طی دیرینه زیستی در نظر گرفته می‌شوند که در طی اردوبیسین-سیلورین از این ابرقاره اشتاقاق یافته و در زمان تریاس با اوراسیا بخورد کرده‌اند (بربریان و کینگ، ۱۹۸۱؛ سنگور، ۱۹۹۰؛ اشتامفلي و همکاران، ۱۹۹۱؛ سنگور و ناتالین، ۱۹۹۶). بر پایه

نهشته‌های مجموعه *FB* احتمالاً نشان‌دهنده کاهش ظرفیت جریانات برای انتقال رسوبات به بخش‌های داخلی‌تر حوضه است. کanal‌ها غالباً فرسایشی، انباشته شده (*FA*) هستند که نشان‌دهنده جریانات توربیدیاتی با غلظت بالا و پرانرژی است. مجموعه رخسارهای *FB* که شامل تناب و ماسه‌سنگ‌های نازک تا متوسط لایه و مارن‌های تیره دارای فرامینیفرهای پلانکتونیک است در بخش‌های دورتر از منشا یک سیستم بادبزن زیردریایی ژرف و در جایگاه حاشیه بادبزن تهنشست یافته است. وجود تنوع و فراوانی بالاتر اثر سنگواره‌ها در این مجموعه نشان‌دهنده شرایط نسبتاً پایدارتر و وجود مواد غذایی فراوان در بستر حوضه رسوبی است (شرفی و همکاران، ۱۳۸۸، ۱۳۹۰، ۱۳۹۱، ۱۳۹۳، ۲۰۱۱، ۲۰۱۲، ۲۰۱۶). مجموعه رخسارهای *FC* که به طور یکنواخت از مارن‌های تیره با میان لایه‌های اندک از ماسه‌سنگ نازک لایه ساخته شده است، نشانگر کاهش بسیار نرخ رسوب‌گذاری، چیرگی شرایط کم آکسیژن/احیایی در جایگاه‌های دور از منشا کف حوضه در این سیستم رسوبی است. رنگ تیره رسوبات، وجود مقادیر فراوان کوکولیت، فرامینیفرهای پلانکتونیک، مواد آلی، پیریت‌های خوش‌های و پرکننده حجرات در کنار اندازه دانه‌ریز این مجموعه این موضوع را تایید می‌نماید (صادق‌زاده و همکاران، ۱۳۹۲؛ شرفی و همکاران، ۱۳۸۸، ۱۳۹۳، ۲۰۱۴، ۲۰۱۶). به‌طور کلی توالی مورد بررسی در یک فاز پسرونده ساخته شده است که به وسیله الگوی ستبرشوندگی و درشت‌شوندگی رسوبات شناخته می‌شود. نکته مهم در مورد رسوبات پالئوسن در ناحیه سوچلما این است که با توجه به ویژگی‌های رسوبی یاد شده، این مجموعه رسوبی در بخش‌های انتهایی یک سیستم بادبزن زیردریایی ساخته شده است. بنابراین حاکمیت شرایط احیایی را برای یک دوره دراز نشان می‌دهد، این رسوبات می‌تواند به عنوان نهشته‌های مستعد منشا هیدرولوکرین مطرح باشد.

سکانس‌های رسوبی (*Depositional sequence*)

توالی پالئوسن در بُرش سوچلما از چهار سکانس رسوبی درجه سوم شامل دسته رخسارهای *HST*, *LST*, *TST* و *HST* تشکیل شده است (شکل‌های ۷ و ۸). مرز زیرین و بالای سکانس‌ها (به استثنای مرز بالایی سکانس چهارم که به

عنوان حوضه کاسپین جنوبی^۱ (فروفتگی حاشیه البرز، *pre-Alborz trough*) در بخش جنوب‌خاوری (SCB) شناخته شده است. بر پایه دیدگاه برونت و همکاران (برونت و همکاران، ۲۰۰۳) در بازه زمانی کنیاسین تا پالئوسن سیستم زمین‌ساختی در کل ناحیه (از ترکیه تا قفقاز و خاور کراتون اروپا) از نوع فشارشی بوده است. بنابراین بازشدگی و گسترش حوضه کاسپین جنوبی پیش از این زمان رخ داده است (نیکیشین و همکاران، ۱۹۹۹، ۲۰۰۱).

شواهد رسوب‌شناسی (مانند توالی‌های کلاسیک ستر شونده- درشت‌شونده، مارن‌های تیره با فرامینیفرهای پلانکتونیک، دانه‌بندی تدریجی از سکانس بوما) و ایکنولوژی (اثرسنگواره‌های شاخص مناطق ژرف حوضه مانند *Zoophycus* و *Halopa*, *Palaeodiction* نشانگر ساخت رسوبات توالی پالئوسن در ناحیه سوچلما در یک سیستم توربیدیاتی و منطبق با مدل‌های رسوبی بادبزن‌های زیردریایی ژرف است (موتی و همکاران، ۱۹۹۴؛ جانسون و همکاران، ۲۰۰۱؛ هرد و پیکرینگ، ۲۰۰۸؛ پرلت و همکاران، ۲۰۰۹؛ شرفی و همکاران، ۲۰۱۱، ۲۰۱۲، ۲۰۱۳، ۲۰۱۴، ۲۰۱۵، ۲۰۱۶؛ بایت‌گل و همکاران، ۲۰۱۴، ۲۰۱۶) (شکل ۶). سیستم‌های توربیدیاتی مشکل از مجموعه‌های غالباً ماسه‌سنگی با مقادیر اندک از مارن‌های سیلتی- ماسه‌ای که به صورت بسته‌های توربیدیاتی (لایه‌های ماسه‌ای) ورقای شکل انباشته شده تا غیر انباشته (*FA*) مشخص می‌شوند وابسته به بخش‌های بیرون تخت گاه تا کanal‌های توسعه یافته در بیرون تختگاه^۲ نزدیک‌تر به کanal اصلی قطع کننده شبیب حوضه رسوبی هستند. این مجموعه رخسارهای که دارای آشفتگی‌های زیستی پراکنده هستند^۳ نشانگر محیط و شرایط اکولوژیکی نسبتاً ناپایدار (آشفتگی)، بستر ماسه‌ای متحرک، انرژی بالا، مواد غذایی اندک) در بستر دریا هستند (شرفی و همکاران، ۲۰۱۱، ۲۰۱۲، ۲۰۱۳، ۲۰۱۴؛ بایت‌گل و همکاران، ۲۰۱۴، ۲۰۱۶). این مجموعه رخسارهای حاصل جریانات گرانشی در بردارنده جریانات توربیدیاتی با غلظت و حجم بالا است. روند ستر شونده رسوبات پرکننده کanal شامل ماسه‌سنگ‌های بدون ساختار ستر لایه (*FA*) در بالای

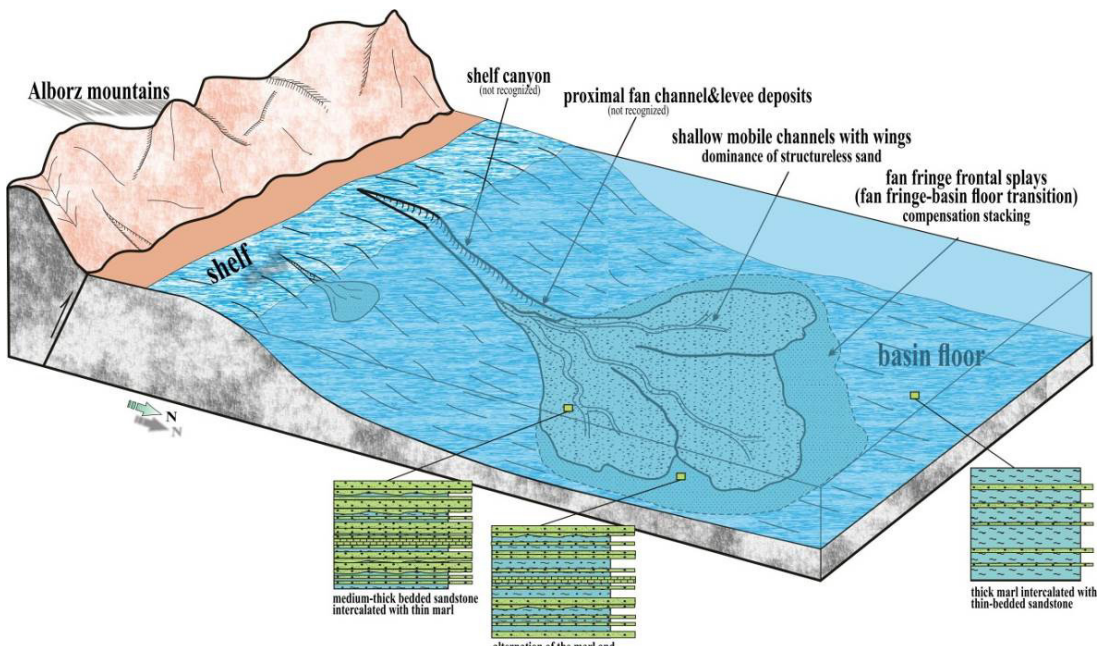
¹ South Caspian Basin

² overbank channel

³ Ophiomorpha

سکانسی و مقایسه با منابع منتشر شده در این زمینه بوده است (موتی و همکاران، ۱۳۹۴؛ وان واگنر و همکاران، ۱۳۹۰؛ ناست، ۲۰۰۹؛ شرفی و همکاران، ۱۳۸۸، ۱۳۹۰، ۱۳۹۳، ۱۳۹۱؛ کاتانیو و همکاران، ۲۰۱۶، ۲۰۱۴، ۲۰۱۲؛ گاتانیو و همکاران، ۲۰۰۹؛ مکالی و هوبارد، ۲۰۱۳؛ جیانتی و موناکو، ۲۰۱۵؛ بایت‌گل و همکاران، ۲۰۱۶، ۲۰۱۴).

صورت گسله در زیر توالی میوسن قرار دارد) از نوع پیوستگی قابل انطباق ($C.C.$) است. شناسایی سکانس‌های رسوبی بر پایه جدایی مجموعه‌های رخساره‌ای، بررسی روند ضخیم‌شوندگی و نازک‌شوندگی لایه‌ها و شناسایی تغییرات ناگهانی در رخساره‌های سنگی به عنوان سطوح کلیدی چینه‌نگاری



شکل ۶. مدل رسوب‌گذاری توالی پالتوسن در ناحیه سوچلما

انتقالی کف حوضه- لبه مخلوط (*FB*) ساخته شده است که با مرز شناخته شده از نوع پیوستگی قابل انطباق بر روی سکانس رسوبی ۱ قرار گرفته است. سیکل‌های متعدد ستبرشونده- درشت‌شونده به طرف بالا در این بخش دیده می‌شود. دسته رخساره‌های *TST* و *HST* تقریباً بطور یکنواخت از مارن‌های تیره با میان لایه‌های نازک از ماسه‌سنگ‌های دانه‌ریز آن افزوده می‌شود) از مجموعه رخساره‌ای کف حوضه ساخته شده است. سطح بیشینه غوطه‌وری در میان این مارن‌ها قرار گرفته است (شکل‌های ۷ و ۸).

سکانس رسوبی ۳ (DS3): این سکانس رسوبی با ستبرای ۳۰ متر از دسته رخساره‌های *LST*, *TST* و *HST* ساخته شده است. مرز زیرین این سکانس رسوبی از نوع پیوستگی قابل انطباق بوده و با قرارگیری ماسه‌سنگ‌های

سکانس رسوبی ۱ (DS1): این سکانس رسوبی با ۱۴۷ متر ستبرای از دسته رخساره‌های *TST* و *HST* ساخته شده که با یک نبود رسوبی کوتاه مدت بر روی رسوبات کرتاسه قرار گرفته است (شکل‌های ۷ و ۸). دسته رخساره‌های *TST* و *HST* تقریباً بطور یکنواخت از مارن‌های تیره ستبر با میان لایه‌های نازک از ماسه‌سنگ‌های دانه‌ریز (که در بخش *HST* به طور مشخصی بر میزان آن افزوده می‌شود) از مجموعه رخساره‌ای کف حوضه ساخته شده است. سطح بیشینه غوطه‌وری (*MFS*) در میان این مارن‌ها قرار گرفته است.

سکانس رسوبی ۲ (DS2): سکانس رسوبی ۲ با ستبرای ۳۹ متر از دسته رخساره‌های *LST*, *TST* و *HST* ساخته شده است. دسته رخساره *LST* از ماسه‌سنگ‌های متوسط تا ستبر لایه با میان لایه‌های نازک از مارن تیره از مجموعه رخساره‌ای کanal متحرک کم ژرفای (*FA*) و زون

سیستم رسوبی و الگوی انباشتگی رسوبات و به تبع آن سکانس‌های رسوبی توالی مورد بررسی بوده است. از سوی دیگر، حوضه کاسپین جنوبی بخشی از حاشیه شمالی اقیانوس نووتیس بوده است. بنابراین می‌تواند زیر تأثیر تغییرات جهانی تراز آب دریا و آب و هوای جهانی نیز بوده باشد. در این راستا، مقایسه منحنی‌های تغییرات رسوبی تراز آب دریا در توالی مورد بررسی با منحنی‌های جهانی (حق و همکاران، ۱۹۸۷) انطباق خوبی را آشکار می‌کنند (شکل ۷). منحنی جهانی تغییرات تراز آب دریا در ابتدای دانین یک پیشروی بسیار در تراز آب دریا را نشان می‌دهد. بنابراین نشانگر تأثیر مشخص بر روی تراز آب دریا در حوضه کاسپین جنوبی و الگوی کلی توالی رسوبی پالئوسن در ناحیه مورد بررسی است. در این ارتباط منحنی درجه دوم تغییرات جهانی تراز آب دریا در این زمان یک الگوی پیشروی مشخص در زمان دانین را نشان می‌دهد که دارای روند مشابه با توالی مورد بررسی است. بنابراین کنترل تغییرات جهانی تراز آب دریا را بر تغییرات تراز آب دریا در حوضه کاسپین جنوبی تایید می‌نماید.

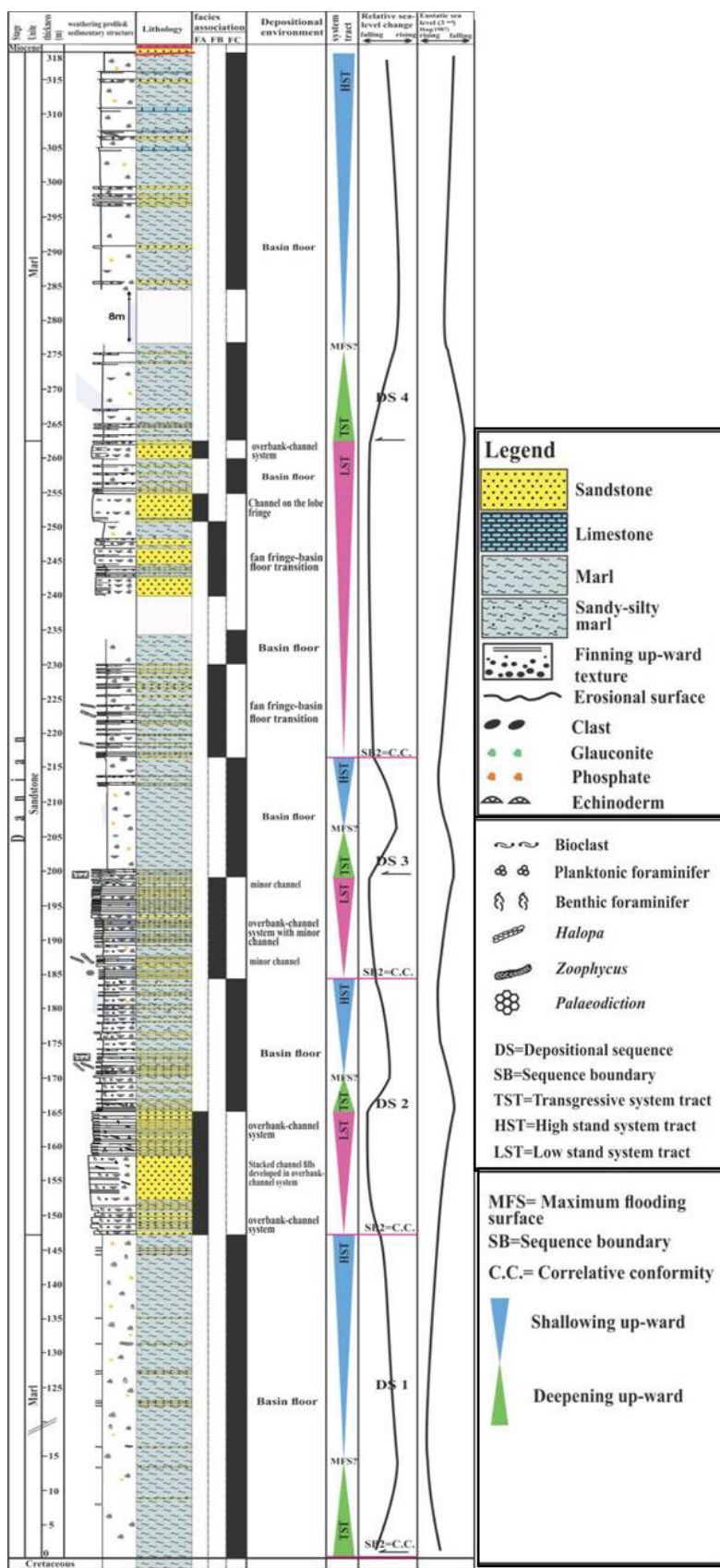
در یک نگاه کلی، توالی پالئوسن در ناحیه مورد بررسی از توالی ستبر مارنی در بخش پایینی و بالایی و بخش ماسه‌سنگی در میانه توالی ساخته شده است (شکل ۷). رسوبات ستبر مارن از مجموعه کف حوضه در بخش پایین توالی توسط لایه‌ها ماسه‌سنگی متوسط- ستبر لایه از مجموعه سیستم کانال بیرون تخت گاه در بخش میانی جایگزین می‌شود. این موضوع افزایش مشخص در نرخ تامین و تجمع رسوبات را نشان می‌دهد. در طی تهنشینی بخش ماسه‌سنگی میانی به دلیل دوره‌های فعلی زمین‌ساخت فشارشی نرخ رسوب‌گذاری بیشتر از نرخ فرونشینی بوده که منجر به تهنشینی این واحد ستبر ماسه‌سنگی مربوط به دسته رساره *LST* شده است. در مقابل، تهنشینی بخش مارن پایینی و بالایی در شرایط نرخ فرونشینی بالا و کاهش قابل توجه در نرخ تامین رسوب و به نوعی تشنجی رسوب^۱ انجام گرفته است.

متوسط- ستبر لایه مجموعه رساره‌ای *FA* از دسته رساره *LST* شناخته می‌شود. در این دسته رساره به طور مشخصی به طرف بالا بر میزان لایه‌های ماسه‌سنگی افزوده می‌شود. دسته رساره‌های *TST* و *HST* از مارن‌های تیره با میان لایه‌های نازک از ماسه‌سنگ‌های دانه‌ریز (در بخش بالایی) از مجموعه رساره‌ای کف حوضه ساخته شده‌اند. تراز بیشینه غوطه‌وری در میان این مارن‌ها قرار گرفته است (شکل‌های ۷ و ۸).

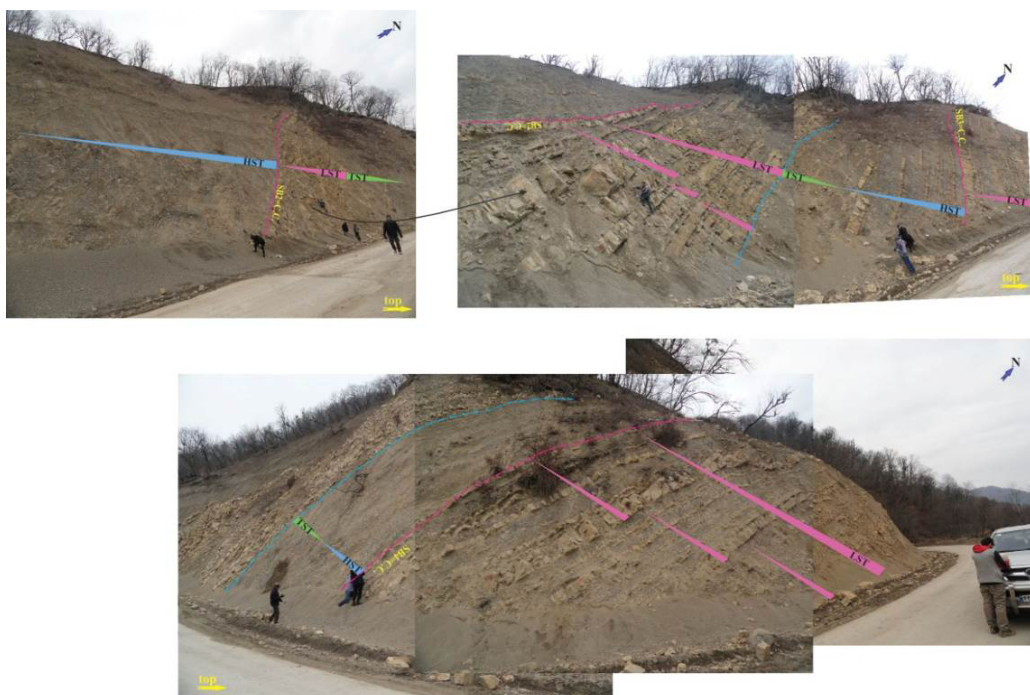
سکانس رسوبی ۴ (DS4): سکانس رسوبی ۴ با ستبرای ۱۰۲ متر از دسته رساره‌های *LST*، *LST* و *HST* ساخته شده است. دسته رساره *LST* در این سکانس رسوبی به ترتیب از پایین به بالا شامل تناوب مارن و ماسه‌سنگ نازک- متوسط لایه از مجموعه رساره‌ای زون انتقالی کف کانال- لبه بادبن- مارن‌های کف حوضه و ماسه‌سنگ‌های متوسط تا ستبر لایه از مجموعه رساره‌ای کانال‌های کم‌ژرف ساخته شده است. مرز زیرین این دسته رساره از نوع پیوستگی قابل انطباق است. دسته رساره‌های *TST* و *HST* از مارن‌های تیره با میان لایه‌های نازک از ماسه‌سنگ‌های دانه‌ریز و سنگ‌آهک‌های ماسه‌ای (که در بخش بالایی بر میزان آنها افزوده می‌شود) از مجموعه رساره‌ای کف حوضه ساخته شده‌اند. تراز بیشینه غوطه‌وری در میان این مارن‌ها قرار گرفته است (شکل‌های ۷ و ۸).

عوامل کنترل کننده سکانس‌های رسوبی
چنانکه گفته شد، بازشدگی و گسترش حوضه کاسپین جنوبی پیش از آغاز فاز فشارشی در زمان کنیاسین- پالئوسن که از ترکیه تا قفقاز و خاور کرتاون اروپا را زیر تأثیر قرار داده است، به وقوع پیوسته است. پس از این، رخداد کششی که منجر به ایجاد یک فرورفتگی دراز شده است، رخدادهای زمین‌ساختی بالآمدگی، چین‌خوردگی و راندگی در انتهای گرتاسه- آغاز پالئوسن که منجر به خروج و ساخت اولیه رشته کوه‌های البرز شده، فرسایش این کمربند یکی از منابع اصلی برای رسوبات سیلیسی- آواری توالی پالئوسن تا امروز در ناحیه مورد بررسی بوده است. بنابراین رژیم زمین‌ساختی نوع فشارشی که در زمان پالئوسن بر کل این ناحیه حاکم بوده است عامل اصلی کنترل کننده نرخ تامین رسوبات، فرآیندهای رسوبی عمل کننده در حوضه رسوبی، نوع

^۱ sediment starvation



شکل ۷. ستون چینه‌نگاری توالی پالئوسن در برش سوچلما که در آن دسته رخساره‌ها و سکانس‌های رسوبی شناخته شده است.



شکل ۸. تصاویر میدانی سکانس‌های رسوبی توالی پالئوسن در بُرش سوچلما (برای نشانه‌های کوتاه به شکل ۷ مراجعه شود)

کرتاسه- آغاز پالئوسن شده و تغییرات جهانی تراز آب دریا از عوامل اصلی کنترل کننده نرخ رسوب‌گذاری، نوع سیستم رسوبی و ساخته سکانس‌های رسوبی در تراف حاشیه جنوبی حوضه کاسپین جنوبی به عنوان بخشی از اقیانوس نوتیس بوده است.

سپاسگزاری

بدین‌وسیله نویسنده‌گان از پژوهشگاه صنعت نفت برای تامین هزینه‌های بررسی‌های میدانی و آزمایشگاهی این پژوهش سپاسگزاری می‌نمایند.

منابع

- بایت‌گل، آ، محبوبی، ا، حسینی‌برزی، م، و موسوی‌حرمی، ر (۱۳۸۹) مدل ایکنولوژیکی نهشت‌های آواری سازند شیرگشت در زیر پهنه کلمرد ایران مرکزی. مجله چینه‌نگاری و رسوب‌شناسی. ص. ۶۸-۴۳.
- بهبهانی، ر، قویدل‌سیوکی، م، برجی، س، مجیدی فرد، م، ر، یوسفی، م (۱۳۹۷) محیط رسوبی سازند قلی در حوضه البرز (ناحیه رباط قربیل)، شمال خاور ایران. دوفصلنامه رسوب‌شناسی کاربردی، دوره ۶، شماره ۱۲، ص. ۸۶-۶۲.
- شرفی، م، اکبری، س، محمودی قرایی، م، ح (۱۳۹۳) بررسی مکانیسم تشکیل گلاکونی‌های قاعده سازند گوری در

نتیجه‌گیری

رسوبات سیلیسی- آواری پالئوسن با ستبرای ۳۱۸ متر در ناحیه جنوب نکا در یال شمالی البرز برای نخستین بار شناسایی و بررسی شده است. تلفیق شواهد رسوب‌شناسی و ایکنولوژی نشان می‌دهد که این رسوبات در یک سیستم بادبزن زیردریایی ژرف در حوضه خزر جنوبی ساخته شده است. سه مجموعه رخسارهای شامل کانال‌های متحرک کم ژرف از سیستم کانال- بالای تخت‌گاه (FA)، زون انتقالی کف حوضه- لبه بادبزن (FB) و کف حوضه (FC) از یک سیستم بادبزن زیردریایی ژرف در این رسوبات شناسایی شده است که ساخت سیکل‌های با الگوی ستیرشونده و درشت‌شونده را می‌دهند. اثرستنگواره‌های *Zoophycus* و *Palaeodiction* در رسوبات ماسه‌سنگی همراه با کوکولیت، فرامینیفرهای پلانکتون، پیریت‌های خوش‌های و پرکننده حجرات، فسفات و مواد آلی فراوان در رسوبات مارن آهکی نشانگر محیط تهشینی ژرف با نرخ رسوب‌گذاری پایین و شرایط احیایی طولانی مدت در بستر رسوبی است، به گونه‌ای که این رسوبات برای نخستین بار به عنوان نهشت‌های مستعد منشا هیدروکربن معرفی می‌شوند. رژیم زمین‌ساختی فشارشی که منجر به بالا آمدگی و آغاز خروج از آب رشته کوه‌های البرز در انتهای

- Canadian Journal of Earth Science*, 18: 210–265.
- Brunet, M. F., Korotaev, M. V., Ershov, A. V., Nikishin, A. M (2003) *The South Caspian basin: a review of its evolution from subsidence modelling*. In: Brunet, M.-F., Cloetingh, S. (Eds.), *Integrated Peri-Tethyan Basins Studies (Peri-Tethys Programme). Sedimentary Geology*, 156: 119–148.
- Callow, R. H. T., Kneller, B., Dykstra, M., McIlroy, D (2014) *Physical, biological, geochemical and sedimentological controls on the ichnology of submarine canyon and slope channel systems*. *Marine and Petroleum Geology*, 54: 144–166.
- Catuneanu, O., Abreu, V., Bhattacharya, J. P., Blum, M. D., Dalrymple, R. W., Eriksson, P. G., Fielding, C. R., Fisher, W. L., Galloway, W. E., Gibling, M. R., Giles, K. A., Holbrook, J. M., Jordan, R., Kendall, C. G. St. C., Macurda, B., Martinsen, O.J., Miall, A.D., Neal, J. E., Nummedal, D., Pomar, L., Posamentier, H. W., Pratt, B. R., Sarg, J. F., Shanley, K. W., Steel, R. J., Strasser, A., Tucker, M. E., and Winker, C (2009) *Towards the standardization of sequence stratigraphy*. *Earth-Science Reviews*, 92: 1–33.
- Giannetti, Monaco, P (2015) *Definition of sequences through ichnocoenoses and taphofacies: An example from the Sacaras Formation (early Cretaceous, eastern Spain)*. *Palaeogeography, Palaeoclimatology, Palaeoecology*, 438: 70–80.
- Haq, B. U., Hardenbol, J., and Vail, P. R (1987) *Chronology of fluctuating sea levels since the Triassic (250 million years ago to present)*. *Science*, 235: 1156–1166.
- Heard, T. G., Pickering, K. T (2008) *Trace fossils as diagnostic indicators of deep marine environments, Middle Eocene Ainsa-Jaca Basin, Spanish Pyrenees*. *Sedimentology*, 55: 809–844.
- Heard, T. G., Pickering, K. T., Clark, J. K (2014) *Ichnofabric characterization of a deep marine clastic system: a subsurface study of the Middle Eocene Ainsa System, Spanish Pyrenees*. *Sedimentology*, 61: 1298–1331.
- Hubbard, S. M., de Ruig, M. J., Graham, S. A (2009) *Confined channel-levee complex development in an elongate depo-center: deep-water Tertiary strata of the Austrian Molasse basin*. *Marine and Petroleum Geology*, 26: 85–112.
- Johnson, S. D., Flint, S., Hinds, D., Wickens, H. De V (2001) *Anatomy of basin floor to slope turbidite systems, Tanqua Karoo, South Africa: sedimentology, sequence stratigraphy and implications for subsurface prediction*. *Sedimentology*, 48: 987–1023.
- شمال شرق گچساران (تاقدیس آنه). نشریه پژوهش‌های چینه‌نگاری و رسوب‌شناسی، شماره ۵۵، ص. ۸۹-۱۰۳.
- شرفی، م، عاشوری، م، محبوبی، ا، موسوی‌حرمی، ر، نجفی، م (۱۳۸۸) چینه‌نگاری سکانسی سازند آیتمیر (آبین-سنومانین) در ناودیس‌های شیخ و بی‌بهره غرب حوضه رسوبی کپه‌داغ، مجله علوم دانشگاه تهران، شماره ۳۵، ص. ۲۰۱-۲۱۱.
- شرفی، م. محبوبی، ا. موسوی‌حرمی، ر (۱۳۹۱) ارتباط گلاکونیت‌زایی و کلسیتی شدن با تغییرات نسبی سطح آب دریا در رسوبات سیلیسی آواری-کربناته سازند آیتمیر (کرتاسه میانی)، حوضه کپه‌داغ. پژوهش‌های چینه‌نگاری و رسوب‌شناسی، شماره ۴۸، ص. ۱۹-۳۶.
- شرفی، م. محبوبی، ا. موسوی‌حرمی، ر، نجفی، م (۱۳۹۰) کاربرد لایه‌های پروفیل در تفسیر چینه‌نگاری سکانسی سازند آیتمیر در ناودیس‌های شیخ و بی‌بهره-باخته کپه‌داغ. *فصلنامه زمین‌شناسی ایران*, شماره ۱۷، ص. ۳۱-۴۷.
- صادقزاده، م.، مصدق، ح.، حسینی‌نژاد، م (۱۳۹۲) رخساره‌های رسوبی یک رمپ با انتهای پرشیب (Distally steepened ramp) رسوبات توربیدیاتی در نهشته‌های کربوئیفر زیرین ناحیه میغان، البرز شرقی. نشریه پژوهش‌های چینه‌نگاری و رسوب‌شناسی، شماره ۵۰، ص. ۷۹-۱۰۲.
- دانشمند، و، سعیدی، ع (۱۳۶۹) نقشه زمین‌شناسی ایران، سری ۱۳۵۰۰۰، شماره ورقه G4، ساری، سازمان زمین‌شناسی کشور.
- Alavi, M (1996) *Tectonostratigraphic synthesis and structural style of the Alborz mountain system in northern Iran*. *Journal of Geodynamics*, 21: 1-33.
- Bayet-Goll, A., Neto de Carvalho, C., Moussavi-Harami, R., Mahboubi, A., Nasiri, Y (2014) *Depositional environments and ichnology of the deep-marine succession of the Amirani Formation (Upper MaastrichtianePaleocene), Lurestan Province, Zagros Fold-Thrust Belt, Iran*. *Palaeogeography, Palaeoclimatology, Palaeoecology*, 401: 13-42.
- Bayet-Goll, A., Monaco, M., Mahmudy-Gharaei, M.H., and Nadaf, R (2016) *Depositional environments and ichnology of Upper Cretaceous deep-marine deposits in the Sistan Suture Zone, Birjand, Eastern Iran*. *Cretaceous Research*, 60: 28-51.
- Berberian, M (1983) *The southern Caspian: a compressional depression floored by a trapped, modified oceanic crust*. *Canadian Journal of Earth Sciences*, 20: 163-183.
- Berberian, M. and King, G. C. P (1981) *Towards a paleogeography and tectonic evolution of Iran*.

- Sengor, A. M. C (1990) A new model for the late Paleozoic- Mesozoic tectonic evolution of Iran and implications for Oman. In: Searle, M. P. and Ries, A. C. (Eds.): *The geology and tectonics of the Oman region*. Geological Society of London, 797-831.
- Sengor, A. M. C. and Natalin, B. A (1996) Paleotectonics of Asia: Fragments of a synthesis. In: Yin, A. and Harrison, M. (Eds.): *The tectonic evolution of Asia*. Cambridge, Cambridge University Press, 486-640.
- Sharafi, M., Longhitano, S. G., Mahboubi, A., Mosaddegh, H (2016) Sedimentology of a transgressive mixed-energy (wave/tide-dominated) estuary, Upper Devonian, Geirud Formation (Alborz Basin, northern Iran). *Sedimentology, IAS Special publication*, Wiley Blackwell, 255-286.
- Sharafi, M., Mahboubi, A., Moussavi-Harami, R., Ashuri, M. and Rahimi, B (2013) Sequence stratigraphic significance of sedimentary cycles and shell concentrations in the Aitamir Formation (Albian-Cenomanian), Kopet-Dagh Basin, northeastern Iran. *Jurnal of Asian Earth Science*, 67-68: 171-186.
- Sharafi, M., Mahboubi, A., Moussavi-Harami, R., Mosaddegh, H., Gharaie, M.H.M (2014) Trace fossils analysis of fluvial to open marine transitional sediments: Example from the Upper Devonian (Geirud Formation), Central Alborz, Iran. *Palaeoworld*, 23: 50-68.
- Sharafi, M., Ashuri, M., Mahboubi, A., Moussavi-Harami, R (2012) Stratigraphic application of Thalassinoides ichnofabric in delineating sequence stratigraphic surfaces (Mid-Cretaceous), Kopet-Dagh Basin, northeastern Iran. *Palaeoworld*, 21: 202-216.
- Stampfli, G. M., Marcoux, J. and Baud, A (1991) Tethyan margins in space and time. *Palaeogeography, Palaeoclimatology, Palaeoecology*, 87: 373-409.
- Stocklin, J (1968) Structural history and tectonics of Iran: A review. *The American Association of Petroleum Geologists Bulletin*, 52: 1229-1258.
- Van Wagoner, J. C., Mitchum, R. M. Jr., Campion, K. M., and Rahmanian, V. D (1990) Siliciclastic sequence stratigraphy in well logs, core, and outcrops: concepts for high-resolution correlation of time and facies. *American Association of Petroleum Geologists Methods in Exploration Series* 7: 55p.
- Vincent, S., Allen, M., Ismail-Zadeh, A., Flecker, R., Foland K., and Simmons, M (2005) Insights from the Talysh of Azerbaijan into the Paleogene Evolution of the South Caspian Region. *Geological Society of America Bulletin*, 117(11-12): 1513-1533.
- Knaust, D (2009) Characterization of a Campanian deep-sea fan system in the Norwegian Sea by means of ichnofabrics. *Marine and Petroleum Geology*, 26: 1199-1211.
- Macaulay, R. V., Hubbard, S. M (2013) Slope channel sedimentary processes and stratigraphic stacking, Cretaceous Tres Pasos Formation slope system, Chilean Patagonia. *Marine and Petroleum Geology*, 41: 146-162.
- Monaco, P., Trecci, T (2014) Ichnocoenoses in the Macigno turbidite basin system, Lower Miocene, Trasimeno (Umbrian Apennines, Italy). *The Italian Journal of Geosciences (Bollettino della Società Geologica Italiana e del Servizio Geologico d'Italia)*, 133: 116-130.
- Mutti, E., Davoli, G., Mora, S., Papani, L (1994) Internal stacking patterns of ancient turbidite systems from collisional basins. In: Weimer, P., Bouma, A.H., Perkins, B.F. (Eds.), *Submarine Fans and Turbidite Systems: Sequence Stratigraphy, Reservoir Architecture and Production Characteristics*, Proc. Gulf Coast Section SEPM 15th Annu. Res. Conf. 257-268.
- Nikishin, A. M., Cloetingh, S., Brunet, M.-F., Stephenson, R. A., Bolotov, S. N., Ershov, A. V (1998) Scythian Platform and Black Sea region: Mesozoic -Cenozoic tectonic and dynamics. In: Crasquin- Soleau, S., Barrie, E. (Eds.), *Peri-Tethys Memoir 3: Stratigraphy and Evolution of Peri-Tethyan Platforms. Mémoires du Muséum national d'Histoire Naturelle*, 177: 163-176.
- Nikishin, A., Ziegler, P. A., Panov, D. I., Nazarevich, B. P., Brunet, M.-F., Stephenson, R. A., Bolotov, S. N., Korotaev, M. V., Tikhomirov, P. L (2001) Mesozoic and Cenozoic evolution of the Scythian Platform-Black-Sea- Caucasus domain. In: Ziegler, P. A., Cavazza, W., Robertson, A. H. F., Crasquin-Soleau, S. (Eds.), *Peri-Tethys Memoir 6: Peri-Tethyan Rift/Wrench Basins and Passive Margins. Mémoires du Muséum national d'Histoire Naturelle*, 186: 295-346.
- Prelat, A., Hodgson, D (2013) The full range of turbidite bed thickness patterns in submarine lobes: controls and implications. *Journal of the Geological Society, London* 170, 209-214.
- Prelat, A., Hodgson, D. M., Flint, S. S (2009) Evolution, architecture and hierarchy of distributary deep-water deposits: a high-resolution outcrop investigation from the Permian Karoo Basin, South Africa. *Sedimentology*, 56: 2132-2154.
- Scotese, C. R (2014) *Atlas of Late Cretaceous Paleogeographic Maps, PALEOMAP Atlas for ArcGIS, vol.2. The Cretaceous, Maps 16-22, Mollweide Projection, PALEOMAP Project, Evanston, IL*.